

九州大学工学部 正員 粟谷 陽一

1. まえがき 沈殿池の沈殿効果に大きな影響を及ぼすものの一つに、短絡流の問題がある。短絡流を生ずる原因としては、流入水と池内の水との密度差、流入水の流速分布又は流向、水表面上の風などがあり、それらの原因によって引き起こされる短絡流も、種々な様相を呈する。これらについて、機械的検討ないしは現象論的な考察は、従来も種々行われているが、流状の理論的な解析は未だ不十分である。これらの問題の一端として、流入水中の浮遊物によって起される矩形沈殿池内の密度流について、理論的な解析を試み、密度流の流速および死水を生ずる条件などについて、一応の結果を得たので、報告する。

2. 基礎式 水平流矩形沈殿池の中の流れを2次元流として扱い、粘性および乱れの影響を無視する。簡単のため流入水と池内の水との温度差はないものとし、浮遊物の沈降速度は一様とし、また流入水の流速および浮遊物の濃度は、流入部全水深について一様とし、定常状態にあるものとする。このよう仮定のもとでは、沈殿池内は上層(密度 ρ_a)と懸濁部分(密度は流入水と等しく; ρ_b とする)の2部分に分け、それらの内部では密度は一様となる。

水表面に沿って流れの方向にx軸、水面から鉛直下向きにz軸をとり、xおよびz軸方向の流速を流れ関数 ψ を用いて $u = \frac{\partial \psi}{\partial z}$, $w = -\frac{\partial \psi}{\partial x}$ とおき、 $u \gg w$, $\frac{\partial u}{\partial z} \ll \frac{\partial w}{\partial z}$ とすると、両部分における運動方程式は

$$\left. \begin{aligned} \frac{\partial \psi}{\partial z} \frac{\partial^2 \psi}{\partial x^2} - \frac{\partial \psi}{\partial x} \frac{\partial^2 \psi}{\partial z^2} + \frac{1}{\rho} \frac{\partial p}{\partial x} &= 0 \\ \frac{1}{\rho} \frac{\partial p}{\partial z} &= g \end{aligned} \right\} \quad \begin{array}{l} \text{p は } \rho_a \text{ または } \rho_b \\ \text{p は } \rho_a \text{ または } \rho_b \end{array} \quad (1)$$

(2)

これらからやを消去すると

$$\left(\frac{\partial}{\partial x} \right) \frac{\partial^2 \psi}{\partial z^2} = \left(\frac{\partial}{\partial x} - \frac{\partial^2 \psi}{\partial z \partial x} \right) \frac{\partial^2 \psi}{\partial z^2} = 0$$

したがって $\frac{\partial^2 \psi}{\partial z^2} = \text{funct.}(\psi) = \frac{dF(\psi)}{d\psi}$ とおくと

$$\frac{1}{2} \left(\frac{\partial \psi}{\partial z} \right)^2 = F(\psi) + \phi(x) \quad \begin{array}{l} \text{p は } \rho_a \text{ または } \rho_b \\ \text{p は } \rho_a \text{ または } \rho_b \end{array} \quad (3)$$

ここに $F(\psi)$ および $\phi(x)$ は、それらのxおよびzの任意関数である。(3)を流線に沿って微分すると

$$\left(\frac{\partial}{\partial x} - \frac{\partial^2 \psi}{\partial z \partial x} \right) \frac{1}{2} \left(\frac{\partial \psi}{\partial z} \right)^2 = \frac{\partial \psi}{\partial z} \frac{\partial^2 \psi}{\partial x \partial z} - \frac{\partial \psi}{\partial x} \frac{\partial^2 \psi}{\partial z^2} = \frac{d\phi}{dx}$$

したがって(1)より

$$\frac{d\phi}{dx} = -\frac{1}{\rho} \frac{\partial p}{\partial x}$$

これと(2)から

$$\frac{p}{\rho} = gz - \phi(x) \quad \begin{array}{l} \text{p は } \rho_a \text{ または } \rho_b \\ \text{p は } \rho_a \text{ または } \rho_b \end{array} \quad (4)$$

a. 上層内の流れ 流速が小さいものとして、水表面の上下の変化を無視し、水表面 $z=0$ に沿う流線を $\psi=0$ 、表面流速を $u_s(x)$ とすれば、(3)より

$$\frac{1}{2} u_s^2 = F(0) + \phi_a(x)$$

また(4)より $Z=0$, $u_s=0$ (必ずしも実在しない) における圧力を 0 にとると, $F(0)=0$ となり,

$$\frac{p}{\rho_a} = gZ - \frac{1}{2} u_s^2 \quad (5)$$

b. 懸濁部分の流れ 流入速度を u_0 とすると, (3)より懸濁部分の流速 u_b は今に無関係となり, さらに懸濁部分に対する(4)と, 上澄の(5)との $Z=0$, $Z=0$ の点で等しいためには, $p_b-p_a \ll \rho_a$ として $\phi_b(0)=\frac{1}{2} u_0^2$ となるから,

$$\frac{1}{2} u_0^2 = \phi_b(Z)$$

したがって(4)より

$$\frac{p}{\rho_b} = gZ - \frac{1}{2} u_b^2 \quad (6)$$

池底 $Z=h$ に沿う流線は $\psi=u_0 h$ であるから, 懸濁部分内では

$$\psi = u_0 h - u_b(h-Z) \quad (7)$$

C. 接続条件 混遊物の沈降速度を w_0 とし, 上澄・懸濁両部の境界面の水深を z_c , 流れ関数を ψ_c とすると, 境界面の沈降条件から, $Z=z_c$ において $\frac{\partial \psi}{\partial Z} \frac{dz_c}{dx} + \frac{\partial \psi}{\partial x} = w_0$

これに(7)を代入し, x で積分すること

$$u_b = \frac{u_0 h - w_0 x}{h - z_c} \quad (8)$$

また(7)より

$$\psi_c = w_0 x \quad (9)$$

一方 $Z=z_c$ で(5)と(6)の圧力やは等しいから, $p_b-p_a \ll \rho_a$ として

$$(p_b-p_a)gZ_c = \frac{1}{2} \rho_a (u_b^2 - u_s^2) \quad (10)$$

(3), (4), (5), (8), (10) より

$$\frac{1}{2} \left(\frac{\partial \psi}{\partial Z} \right)^2 = F(\psi) + \frac{1}{2} \left(\frac{u_0 h - w_0 x}{h - z_c} \right)^2 - \frac{p_b - p_a}{\rho_a} g Z_c \quad (11)$$

この式で $Z=z_c$ とおくと, $\frac{\partial \psi}{\partial Z} = u_b$ となるから, (8)より

$$F(\psi_c) = \frac{p_b - p_a}{\rho_a} g Z_c \quad (12)$$

となる。これと(9)とを用いれば, (11)より

$$Z = \int_0^{\psi} \left[\left(\frac{u_0 h - \psi_c}{h - F(\psi_c) / \frac{p_b - p_a}{\rho_a} g Z_c} \right)^2 - 2 \{ F(\psi_c) - F(\psi) \} \right]^{-1/2} d\psi \quad (13)$$

(13)で $\psi=\psi_c$ とおくと, ψ と $F(\psi)$ との関係を与える積分方程式を得る。すなわち, (12)を用いて

$$\xi_c = \int_0^{\xi_c} \left\{ \left(\frac{1 - \xi_c}{1 - \zeta_c} \right)^2 - K(\xi_c - \zeta) \right\}^{-1/2} d\xi \quad (14)$$

ただし $\xi = \frac{\psi}{u_0 h}$, $\xi_c = \frac{\psi_c}{u_0 h} = \frac{w_0}{u_0 h} x$, $\zeta = \frac{F(\psi)}{\frac{p_b - p_a}{\rho_a} g h}$, $\xi_c = \frac{F(\psi_c)}{\frac{p_b - p_a}{\rho_a} g h} = \frac{z_c}{h}$

$$K = \frac{p_b - p_a}{\rho_a} \frac{2gh}{u_0^2} \quad (15)$$

すなわち K は沈殿池内部の境界面に関するフルード数の逆数と見ることができる。(14)を解いて, ψ と $F(\psi)$ との関係を求めれば, (13)より上澄内の流れが, (7), (8)より懸濁部分の流れが求められる。

3. 死水域の発生 (14)から得られる解は, 一定の鉛直断面内では, 水表面で最低の流速を与える。(8), (10), (15), (16)を用いて水表面の流速を求めるとき, 次式をうる。

$$\frac{u_s}{u_0} = \sqrt{\left(\frac{1-\xi_c}{1-\zeta_c}\right)^2 - K\xi_c} \quad (17)$$

したがって、ある α の値に対しして $\left(\frac{1-\xi_c}{1-\zeta_c}\right)^2 = K\xi_c$ (18)

となれば、 $u_s=0$ となり、それから先は水表面附近に死水をもつ (14) とは異る解に移行することになる。 (14) の解より、 K の値がある一定値をこえると (18) を満足する ξ_c の値が $0 < \xi_c < 1$ の間に存在することがわかる。

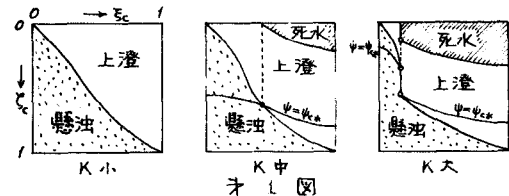
水表面附近に死水がある場合には、上澄内の圧力は (5) より $p=p_a g z$ となり、これが境界面 $z=z_c$ において (6) に等しいとおくと、(18) が導かれる。したがって、この場合の流れの様子は、(14) の代りに (18) を用いれば求められることになる。上澄内では (4) より $\phi_a=0$ となり、死水の部分を除いては、(3) より $\frac{\partial \psi}{\partial z} = \sqrt{2F(\psi)}$ すなわち流線上で流速は一定値を保つ。また懸濁部分では、(8) に (18) を代入すれば、 $\frac{u_b}{u_0} = \sqrt{K\xi_c}$ となる。

以上の考察から死水の深さ Z_d を求める

$$\frac{Z_d}{h} = \xi_c - \int_{\psi_{ck}}^{\psi_c} \frac{d\psi}{\sqrt{2F(\psi)}} - \xi_{ck} = \xi_c - \frac{1}{2} \left\{ 3(\xi_c - \xi_{ck}) + \ln \frac{\xi_c}{\xi_{ck}} \right\} - \int_{\xi_{ck}}^{\xi_c} \frac{d\xi}{\sqrt{K\xi}} \quad (19)$$

ここに ξ_{ck} 、 ξ_c 、 ψ_{ck} は死水を生じた最初の位置における ξ_c 、 ξ_c 、 ψ_c の値である。

K の値がさらに大きい場合には、(14) の解は (18) を満足する以前に $\frac{d\xi_c}{d\xi}$ が無限大となる。すなわち境界面が垂直に降下して、不連続的に別の解に移行することになる。これは明らかに $u \gg w$ とした最初の仮定に矛盾するが、急激な変化で死水を伴う解に移ることは実際と変りないと考えられる。この不連続の接続条件として、各流線山上で全エネルギーが保存されるものと仮定し、死水域は前と同様に水表面附近に生じるものとすれば、接続後の部分に対して、やはり (8) を得る。そこで $\frac{d\xi_c}{d\xi} = \infty$ となつた所の ξ_c の値を用いて (18) より ξ_c

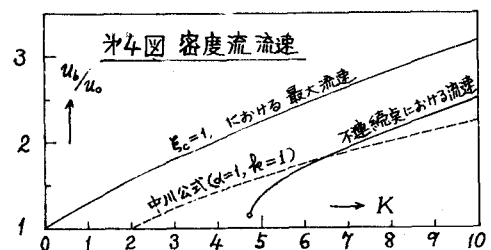


を求めれば、これを接続条件として前と同様死水を伴う流れが求められる。これら各種の解の概略の形をオフ図に示す。

4. 計算結果および考察 各種の K の値に対して、前述のようになります (14) を解き、さらに (18)、(19) より死水を伴う部分の解を求めた結果をオフ図およびオフ図に示す。オフ図は上澄と懸濁部分との境界面および死水域を示し、オフ図は表面流速および懸濁部分の流速、すなわちいわゆる密度流の流速を示す。この結果 $K > 3.4$ で死水を生じ、さらに $K > 4.4$ では不連続的（実際には流入後下向きから横向きに転ずる明らかな密度流）となる。密度流の流速として、 $\xi_c=1$ すなわち沈没をちょうど終った所の u_b と、不連続を通過した直後の u_b の値をとると、オフ図のようになる。比較のため、中川氏の公式^{1), 2)}

$$u_b = \sqrt{2\alpha \frac{p_b - p_a}{g} g \Delta h \frac{1}{K}}$$

において、エネルギーの有効率および静吸率を共に 1 とし、一様な流入の仮定に対し $\Delta h = \frac{h}{2}$



となると、

$$\frac{u_b}{u_0} = \sqrt{\frac{K}{2}}$$

となる。こ

れを $\times 4$ 図

の中に、実

線で示す。

この値は、

不連続点を

通過した直

後の値とは

ほぼ近い値と

なっている。

5. むすび

理想流体の

運動方程式

を用いて、

矩形沈殿池

による密度

流を積分方

程式(14)に帰

着し、その

結果内部フ

ルード数に

相当するパ

ラメーター

Kを流れの

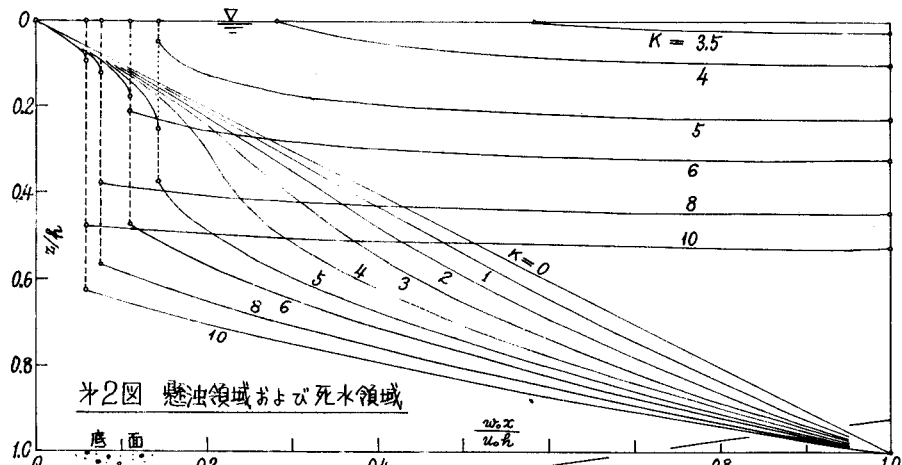


図2 図 懸濁領域および死水領域

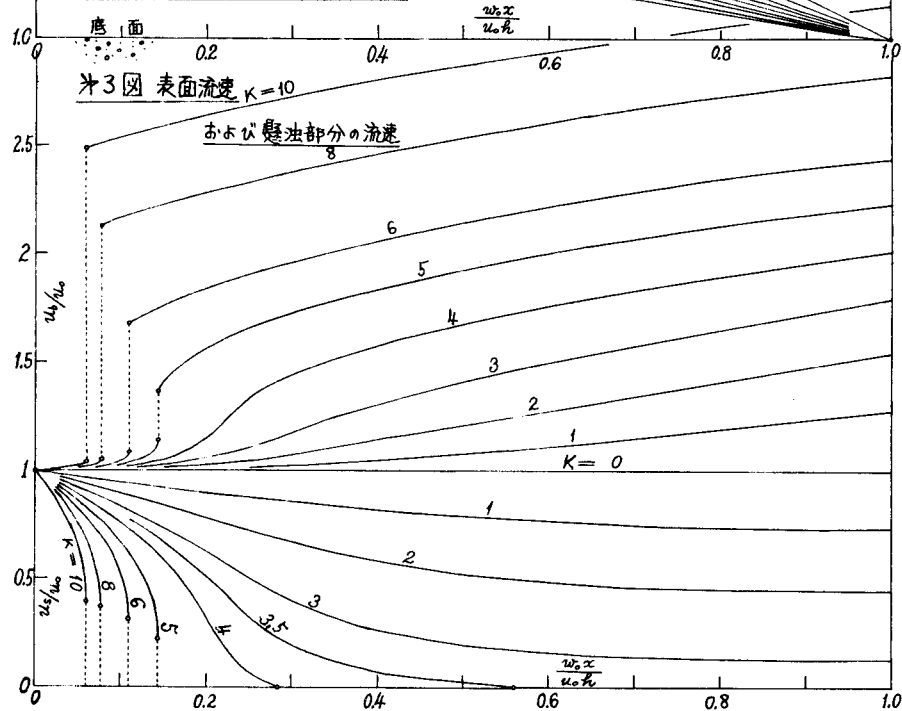


図3 図 表面流速 $K=10$

および懸濁部分の流速

状態が与えられ、 $K > 3.4$ で死水を生じ、 $K > 4.7$ で明瞭な密度流を生じることを示した。また K の値に対する密度流の流速と死水域とを求めた。理論を非常に理想化しており、密度流の流速などは直ちに実際と対比し難いが（現に中川氏の公式では、 $\alpha \approx 0.5$ 、 $\beta \approx 1.5$ ととられてる）、沈殿池内の流状と、それに伴う死水の概略を知りうるものと思う。本論文の計算には、九州大学中央計算施設のOKITA-C 5090-H電子計算機を使用した。

参考文献

1) 水道研究, 第23号 p. 2

2) 水道協会雑誌, 第258号 p. 9 同 第333号 p. 28